

## ذوب مجدد و ناهنجاریهای ترکیبی (سدیم و پتاسیم بالا) در سینیوگرانیتهای آلموقلاق (همدان)

منوچهر امیری<sup>۱</sup>، صدرالدین امینی<sup>۲</sup>

<sup>۱</sup> مرکز تحقیقات منابع طبیعی و امور دام جهاد کشاورزی استان همدان

<sup>۲</sup> دانشگاه تربیت معلم تهران

(دریافت: ۸۱/۶/۲۰؛ پذیرش: ۸۲/۲/۲۷)

### چکیده

سینیوگرانیت آلموقلاق در شمال اسدآباد همدان واقع شده و با وجود آنکه سن جوانی دارد ولی در محل تصاصم (محل فروزانش زاگرس) جای گرفته و از طرف دیگر دارای ناهنجاری ترکیبی (پتاسیم بالا و سدیم خیلی بالا) می‌باشد. بر اساس بررسیهایی که در این تحقیقات انجام گرفته (مطالعات پتروگرافی، میکروسکوپی و تجزیه و تحالیل داده‌های شیمیایی در نمودارهای پترولوژی و ژئوتکنیکی)، مشخص گردید که مagma اولیه تولید کننده این توده ابتدا از ذوب پوسته اقیانوسی در حال فروزانش به زیر پوسته قاره‌ای در اوآخر فاز کوهزایی لرامیدین تشکیل و در بخش‌های تحتانی پوسته جایگزین و متبلور گردیده و سپس در زمانهای بعدی بار دیگر در حضور محلولی‌ای فلئور (F) و بور (B) دار ذوب و از آکالیها و به خصوص سدیم غنی گردیده و در شرایط فشار آب قدری کمتر از ۵ کیلو بار ضمن حرکت آرام به بالا بافت پرتیتی را تشکیل داده و سرانجام تحت تأثیر یک پدیده تکنونیکی و حرکت آنی به بالا آب خود را از دست داده و سریعاً سرد و متبلور و بافت گرانوفیری را تشکیل داده و آخرین مرحله جایگزینی خود را در اوآخر پلیوسن انجام داده است. بنابراین ناهنجاریهای ترکیبی برخی از توده‌های آذرین وابسته به فرورانش در پوسته ایران (مثل آلموقلاق) ناشی از ذوب مجدد در حضور فلوریدهای اکتیو فلئور و بوردار می‌باشد.

**واژه‌های کلیدی:** آلموقلاق، همدان، سینیوگرانیتها، ناهنجاریهای ترکیبی، ذوب مجدد.

### مقدمه

منطقه آلموقلاق در غرب گرانیتهای الوند، (شمال اسدآباد) و در مختصات جغرافیایی  $\varphi = 34^\circ - 46' - 05''$  تا  $\varphi = 34^\circ - 58' - 06''$  عرض شمالی و  $\lambda = 36^\circ - 03' - 12''$  طول شرقی واقع گردیده و دارای تنوع سنگی و کانیائی بسیار فراوان بوده و در حقیقت یک مجموعه کانیائی، سنگی و پترولوزی محسوب می‌گردد.

منطقه مذکور و گرانیت‌وئیدهای الوند در سال ۱۳۵۴ توسط فیاضی از نظر پتروگرافی و سنگ‌شناسی مطالعه گردیده است و ایشان در بررسی خویش علاوه بر تهیه مقاطع میکروسکوپی، از سنگهای آذرین منطقه حدود ۱۳ تجزیه شیمیایی (۶ نمونه مربوط به سینیوگرانیتها و ۷ نمونه مربوط به سایر سنگهای آذرین) به عمل آورده و انواعی از سنگهای آذرین و دگرگونی را گزارش و تشریح نموده است.

امروزه بررسیهای مختلف نشان می‌دهند که در مناطق فرورانش (پوسته اقیانوسی به زیر پوسته قاره‌ای) با گذشت زمان فعالیتهای آذرین در فاصله دورتری از محل تصادم به وقوع پیوسته و همچنین مagmaها از عمق بیشتری منشأ گرفته و ترکیب آنها نیز نسبت به زمان و فاصله تغییر می‌نماید از جمله میزان پتاسیم آنها افزایش می‌یابد (منبع ۲) ولی توده‌هایی مثل سینیوگرانیت آلموقلاق، شاتیری و کریم آباد شمال بروجرد، ردیف موریا در نوار لاخلان (منبع ۳) و ... وجود دارند که پتاسیم و سدیم بالا و سن جوانی داشته و در محل تصادم دو پوسته (مثلًاً در ایران در محل تصادم ایران مرکزی با سپر عربستان) قرار گرفته‌اند و از موارد نقض روند کلی محسوب می‌شوند که در این مقاله به علت این ناهنجاری پرداخته‌ایم.

### روش تحقیق

در این تحقیق بیش از ۲۲۰ نمونه از رخساره‌های گوناگون و از مناطق مختلف آلموقلاق برداشت و پس از بررسی حدود یکصد و سی (۱۳۰) مقطع نازک جهت مطالعه میکروسکوپی تهیه گردید و تعداد ۱۳ نمونه از سنگهای آذرین منطقه (۹ نمونه از سنگهای سینیوگرانیت و ۴ نمونه از سایر سنگهای آذرین) توسط آزمایشگاه کانپژوه آنالیز و همچنین از توده‌هایمعدنی آلموقلاق و سنگهای مجاور بالاصل علاوه بر مقاطع نازک تعداد دوازده مقطع صیقلی تهیه و شش نمونه توسط X.R.D و دو نمونه جهت سنجش عناصر  $Fe^{3+}$ ,  $Fe^{2+}$ , Ti, Zn, Ni, Co, Cr و مورد آزمایش قرار گرفت. در این تحقیق با مطالعات صحرایی، مقاطع نازک (از نظر بافت، کانی شناسی و میکروفسیلهای)، مقاطع صیقلی و بررسی نتایج تجزیه شیمیایی ۲۶ نمونه در دیاگرامهای پتروگرافی، پترولوزی و مواد معدنی، توانستیم انواع مختلف رخساره‌های سنگی،

سن تشکیلات، محیط ژئوتکنیکی سنگهای آذرین و ژنزکانسار منطقه را مشخص سازیم. که در این نوشته فقط نحوه جای گیری توده سینوگرانیت منطقه و غنی شدن آن از عناصر سدیم و پتاسیم تشریح گردیده و در نمودارهای ارائه شده در متن مقاله از نتایج آنالیز شیمیایی ۱۵ نمونه ( $9+6=15$ ) از سینوگرانیتهای منطقه (جدول شماره ۱) استفاده شده است.

جدول ۱- نتایج آنالیز شیمیایی بروی ۱۵ نمونه از سنگهای سینوگرانیتی منطقه آملوقلاق

\* نمونه‌های تجزیه شده توسط فیاضی (۱۳۵۴).

شماره نموده ترکیب	175	82°	81°	80°	79°	78°	70°	10	21	26	34	45	82	120	175	214
SiO <sub>2</sub>	64.22	69.44	67.52	70.53	62.99	66.74	70.84	69.54	66.55	63.28	66.71	61.37	69.81	64.37	64.22	65.01
Al <sub>2</sub> O <sub>3</sub>	14.23	15.15	15.97	15.81	15.7	15.58	15.2	14.51	14.12	14.99	14.52	15.57	15.32	15.83	14.23	14.85
Fe <sub>2</sub> O <sub>3</sub>	4.71	2.13	2.18	1.57	3.56	2.36	2.08	0.51	3.51	3.24	2.03	1.37	0.48	1.37	4.71	1.58
FeO	1.98	1.34	1.51	0.36	3.02	1.52	1.14	0.64	1.34	1.94	1.5	1.91	0.5	1.14	1.98	3.14
CaO	1.89	1.8	1.2	0.54	2.6	1.64	0.1	2.74	2.12	4.84	3.29	5.34	0.66	4.91	1.89	2.33
MgO	0.33	0.34	0.91	1.48	1.06	1.12	0.58	0.12	0.26	1.02	0.32	2.76	0.84	1.15	0.33	1.11
Na <sub>2</sub> O	6.58	4.77	5.01	4.97	4.88	4.61	4.69	9.07	5.33	8.54	5.90	8.87	5.52	7.56	6.58	6.57
K <sub>2</sub> O	3.50	2.53	3.52	4.97	3.48	4.11	3.74	0.12	5.22	0.10	4.41	0.20	5.35	1.43	3.50	3.61
TiO <sub>2</sub>	0.70	0.62	0.62	2.69	0.95	0.66	0.41	0.49	0.66	1.11	0.58	1.44	0.34	0.94	0.70	0.80
P <sub>2</sub> O <sub>5</sub>	0.28	0.13	0.16	0.13	0.34	0.17	0.11	0.13	0.15	0.30	0.16	0.43	0.15	0.28	0.28	0.27
SO <sub>3</sub>	0.004	-	-	-	-	-	-	0.012	0.009	0.017	0.012	0.012	0.022	0.001	0.004	0.017
MnO	0.07	0.01	0.04	-	0.1	0.08	0.02	0.02	0.06	0.01	0.02	0.05	0.01	<0.01	0.07	0.07
H <sub>2</sub> O <sup>+</sup>	-	0.84	0.54	0.79	0.61	0.74	0.45	-	-	-	-	-	-	-	-	-
H <sub>2</sub> O <sup>-</sup>	-	0.04	0.08	0.07	0.13	0.013	0.06	-	-	-	-	-	-	-	-	-
L.O.I	1.44	1.66	1.09	0.86	0.56	0.72	0.42	2.07	0.51	0.39	0.40	0.50	0.60	0.63	1.44	0.38

## نتایج و بحث

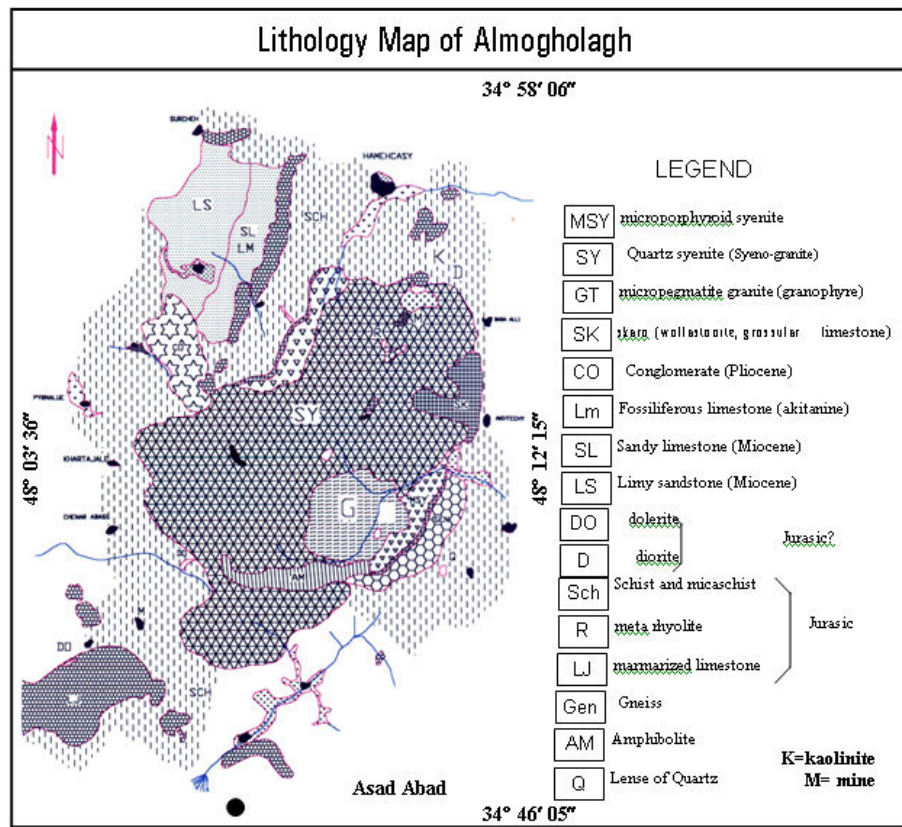
### ۱- وضعیت لیتولوژی و چینه‌ای منطقه

در منطقه انواعی از سنگهای آذرین، رسوبی و دگرگونی به صورت تقریباً در هم ریخته وجود دارد که در نقشه زمین‌شناسی شکل شماره ۱ ارائه گردیده است.

سنگهای دگرگونه منطقه از شیسته‌های سیاه همراه توده‌های کوچک آهکی- و لکانیکی (سیلها و توده‌های کوچک ریولیتی و تراکی- آندزیتی)، سنگهای گنایس چشمی (با کانیهای موسکویت، سربیسیت، کلریت، فلدسپات، و کوارتز)، آمفیبولیت‌های نماتوبلاستیکی و سنگهای دگرگون همبrij شامل مرمرهای متبلور، مرمرهای دولومیتی متبلور، مرمرهای ترمولیت دار، مرمرهای اسکاپولیت دار، مرمرهای پریکلаз - آکرمانیت دار و همیرهای ولاستونیت و تورمالین دار تشکیل گردیده که سری شیستی- و لکانیکی آن با استناد به کارهای انجام شده (زاهدی و حاجیان، ۱۹۶۵ و ...) در ژوراسیک تحتانی و میانی نهشته گردیده و در ژوراسیک پایانی بر اثر کوهزایی سیمیرین پسین دگرگون و تشکیل گردیده است.

سنگهای رسوبی شامل آهکهای میکرایتی فرامینی فردار، آهکهای ماسه‌ای، ماسه سنگ و کنگلومراپلی ژنیک (دارای لیتوکلاستهای آهکی فرامینی فردار، قطعات ماسه سنگی کوارتزیتی، شیست و قطعات ریولیتی) بوده که آهکها به علت وضعیت قرارگیری و داشتن میکروفسیلهایی چون Nephrolepidina و Eulepidina متعلق به سن الیگومیوسن (اشکوب اکی تانین) بوده و کنگلومراپلی منطقه با داشتن قطعات آهکی فرامینی فردار از آهکهای اکی تانین جوانتر بوده و مربوط به پلیوسن و معادل کنگلومراپلی باشد.

سنگهای آذرین شامل توده‌های کوچکی از ریولیتها و تراکی - آندزیتها همراه با رخساره شیست سبز (همانهایی که در سنگهای دگرگون ذکر گردیدند)، سنگهای آذرین اسیدی (سینیوگرانیتها) و سنگهای آذرین بازیک (توده‌های کوچک دیوریتی و دایکهای دلربیتی) بوده که سنگهای بافریک جوانتر از رخساره‌های شیستی منطقه بوده و آنها را قطع کرده و سن مطلق آنها بروش Rb-Sr حدود  $104 \pm 3$  میلیون سال برآورد گردیده است (بلون وبرو، ولی زاده ۱۹۷۵). سنگهای سینیوگرانیتی (سنگهای اسیدی درونی) بیشترین حجم سنگهای آذرین منطقه را تشکیل داده که آمیزه ای از سنگهای مونزوگرانیت، الکالی فلدوپارگرانیت، کوارتزسینیت و سینیوگرانیت است که بیشترین مقدار آنرا سینیوگرانیت تشکیل می‌دهد این توده آذرین سنگهای شیستی را قطع کرده و حاوی آکلاوهایی از سنگهای بازیک هستند. تماس مستقیم این سنگها با آهکهای الیگومیوسن مشاهده نمی‌شود ولی آهکهای تشکیلات الیگومیوسن بطور همشیب بر روی شیستهای قرار گرفته و شیستهای نیز بر اثر نفوذ سینیوگرانیتها از حالت افقی خارج گردیده و شیب دار شده اند. در ضمن آهکهای مذکور در اثر حرارت نفوذ توده آلموقلاق تا حدودی تبلور یافته و به صورت میکرواسپارایت درآمده‌اند. همچنین در کنگلومراپلیوسن منطقه هیچ گونه قطعه‌ای از سینیوگرانیتها مشاهده نشده و بنابراین تصور می‌رود که سینیوگرانیتها منطقه با توجه به اینکه متعلق به مراحل نهایی یک فاز کوهزایی می‌باشند. (دلایل آن ذکر خواهد شد) در اوخر پلیوسن و در اثر فاز کوهزایی پاسادین و حدود ۲ میلیون سال پیش آخرین مرحله جایگزینی خود را انجام داده است.



شکل ۱- نقشه لیتوژوئی (واحدهای سنگی) منطقه آلموقلاق

## ۲- ویژگیهای کانی شناسی و ژئوشیمیایی سینوگرانیتهای منطقه

براساس مطالعات پتروگرافی میکروسکوپی و بررسی تجزیه‌های شیمیایی در دیاگرامهای مختلف پترولوجی، پتروگرافی و بررسیهای آماری بر روی داده‌ها، مشخصات کانی شناسی، ژئوشیمیایی و سینوگرانیتهای منطقه به طور خلاصه و به شرح ذیل بیان می‌گردد:

آمفیبولهای نوع الکالی سدیک با بیرفرنژانس کاهی، فابریک رشتہ‌ای و با حالت رشد توأم با فلدسپاتها تشکیل بافت توپوتاکسی (Topotaxy) را داده‌اند. در برخی سنگها آثاری از پیروکسنها که به اورالیت تبدیل گردیده، مشاهده می‌گردد.

کانیهای اسفن به دوشکل اولیه با مجموعه‌های ریز بلور، نوک تیز و لوزی شکل و ثانویه به صورت بی‌شکل و کانیهای بیوتیت به صورت اتومرف با رنگ سبز مغز پسته‌ای تا متمایل به قرمز با درصد حجمی کمتر از آمفیبولها در این سنگها وجود دارند.

دربخی از سنگهای منطقه کانیهای درشت اسکورلیت با بیرفرنژانس قرمز، سبز مایل به زرد و سبز و با پلنوكروئیسم معکوس و گاهی به صورت پوئی کلیتیک قطعات و کانیهای کوارتز را در خود گرفته و گاهی با حالت زونه (اولیه) تشکیل گردیده‌اند. (تصویر a-۲).

در سینیوگرانیت‌های منطقه نا‌آمیختگی‌های الکالی فلدسپاتها با کوارتز (گرانوفیرزایی) و نا‌آمیختگی آلبیت با ارتوز (پرتیت زایی) به طور فراوان مشاهده می‌شود. (تصویر b-۲) و کانی‌های منیتیت و ایلمنیت با حاشیه واکنشی لوکوکسن در برخی سنگها ظاهر گشته است.

با توجه به بررسی این سنگها در نمودارهای کونو و میدلموست، آنها از نوع ترانس الکالن و متمایل به سوی کالکوالکالن بوده و دارای پتانسیم متغیر و اغلب بالایی می‌باشند.

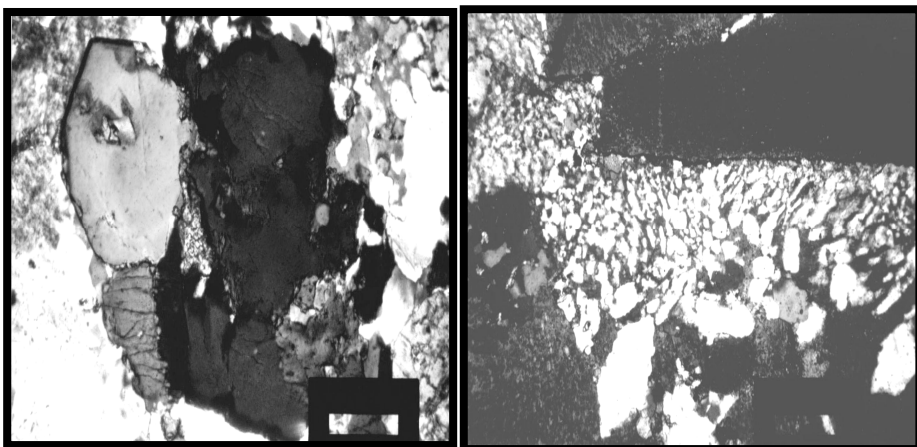
- سنگهای سینیوگرانیتی منطقه دارای نسبت مولی  $\frac{A}{C.N.K}$  برابر با  $\frac{A}{N.K}$  برابر با

$$\frac{Fe_2O_3}{Fe_2O_3 + FeO} \text{ برابر با } \frac{1/15}{1/63}, \text{ میانگین نسبت } \frac{Fe_2O_3}{Fe_2O_3 + FeO} \text{ برابر با } \frac{1/15}{1/63}, \text{ میانگین}$$

درصد وزنی اکسیدهای  $Fe_2O_3 + FeO + MnO + MgO + TiO_2$  مساوی  $5/4$  می‌باشد. دامنه تغییرات  $SiO_2$  بین  $63\%$  تا  $71\%$  درصد، درصد وزنی میانگین  $Na_2O$  برابر با  $6/19\%$  درصد،

درصد وزنی میانگین  $CaO$  برابر با  $2/4$  و نسبت  $\frac{Na_2O}{K_2O}$  برابر با  $2/11$  بوده و از نوع سنگهای

الکالی سدیک و متألومینی می‌باشند. بنابراین با توجه به مشخصات فوق و پلات این گرانیتها در نمودار  $K_2O$ - $Na_2O$  در مقابل  $Qz$ - $Ab$ - $Or$  نتیجه می‌شود که سینیوگرانیت‌های منطقه از تیپ I می‌باشند. همچنین با توجه به وجود بافت گرانوفیری، آمفیبولهای سدیک، وجود کانی‌های اسفن و اسکورلیت، تاهنجاریهای ترکیبی (مشخصه حضور محلولهای فلور و بوردار)، تمايل به سوی قطب Ab در مثلث Qz-Ab-Or، کلسیم پائین و تشکیل این گرانیت‌وئیدها در مراحل انتهایی کوهزایی (در ادامه بیان می‌گردد) می‌توان گفت که این سنگها جزو نوع A می‌باشند. بر طبق نظر برخی از دانشمندان تعدادی از سینیوگرانیت‌های نوع A جزء تیپ I می‌باشند. و در مراحل نهایی کوهزایی تشکیل می‌شوند (Pitcher, 1982).



A - کانیهای اسکورلیت

B - بافت گرانوفیری-پرتیتی

شکل ۲ - تصاویر میکروسکوپی بافت پرتیتی- گرانوفیری و کانیهای اسکورلیت- بافت پوئی گلیتیک در سیننونگرانیتهای آلموقلاق

### ۳ - محیط ژوتکتونیکی سیننونگرانیتهای منطقه

به طور کلی گرانیتوئیدها را برا اساس محیط تکتونیکی به دو نوع کوهزایی و غیر کوهزایی تقسیم می‌کنند که گراناتیوئیدهای تیپ I و S وابسته به کوهزایی بوده و نوع M و تعداد زیادی از نوع A غیر کوهزایی می‌باشند. برای شناسایی وضعیت تکتونیکی گرانیتوئیدهای منطقه، ترکیبات شیمیایی آنها را در نمودارهای شکل شماره ۳ (پیکولی و مانیار، ۱۹۸۹، با چلوروبودن ۱۹۸۵) پلات نموده‌ایم با توجه به نمودارهای C,B,A و D مشخص می‌گردد که اغلب نمونه‌ها در محیط گرانیتوئیدهای کوهزایی واقع شده و همچنین در نمودار R1-R2 اکثر نمونه‌ها در موقعیت مراحل نهایی کوهزایی قرار گرفته‌اند. بهر حال با توجه به اینکه این گرانیتوئیدها از نوع ترانس الکالن و متمایل بسوی کالکوالکالن بوده و دارای پتاسیم متغیر و اغلب بالایی می‌باشند نتیجه می‌شود که گرانیتوئیدهای منطقه مربوط به مراحل انتهایی کوهزایی می‌باشند. حال این سؤال پیش می‌آید که اگر سیننونگرانیتهای منطقه در مراحل کاملاً انتهایی کوهزایی بوجود آمده‌اند. این کوهزایی جزء کدام یک از انواع: IAG (پوسته اقیانوسی به زیر پوسته اقیانوسی)، CAG (پوسته اقیانوسی به زیر پوسته قاره‌ای) و یا CCG (پوسته قاره‌ای با پوسته قاره‌ای) می‌باشد. با توجه به اینکه گرانیتوئیدهای منطقه از تیپ I می‌باشند و اغلب دانشمندان معتقدند که این تیپ گرانیتوئیدها به نحوی با فرورانش (سابداکشن) در ارتباطند و حاصل تصادم

نیستند. لذا گرانیتوئیدهای منطقه از نوع تصادم (CCG) نبوده و البته این موضوع از نمودار R1-R2 نیز استنتاج می‌شود که نمونه‌ها در مناطق تصادم (Collision) قرار نگرفته‌اند. همچنین با توجه به اینکه در نمودار  $\frac{A}{C.N.K}$  هیچ یک از نمونه‌ها در محدوده گرانیتوئیدهای نوع IAG (پوسته اقیانوسی به زیر پوسته اقیانوسی) قرار نگرفته و از طرف دیگر، پتاسیم موجود در آنها بالا بوده، بنابراین جزو گروه CAG (پوسته اقیانوسی به زیر پوسته قاره‌ای) می‌باشند. به حال با توجه به اینکه این گرانیتوئیدها مربوط به مراحل انتهایی کوه‌زایی هستند و بررسیهای چینهای آنها را جوانتر از کنگلومرای پلیوسن منطقه نشان می‌دهد. بنابراین این گرانیتوئیدها در مراحل نهایی کوه‌زایی پاسادنین، آخرین مرحله جایگزینی خود را انجام داده است. حال اگر این سن را برای گرانیتوئیدهای منطقه قبول داشته باشیم باید دید که در این زمان عمل فروزانش در چه وضعیتی قرار داشته و به چه طریقی می‌توان حضور آنها را توجیه نمود.

مطالعه پتروگرافی گرانیتوئیدهای الوند توسط افرادی چون دکتر زرعیان و فرقانی (۱۳۵۷) نشان می‌دهد که این سنگها به صورت توده بزرگ و با سطحی برابر با حدود ۴۰۰ کیلومتر مربع در منطقه ظاهر شده و در آنها بلورهای اسفن به صورت تأخیری، میکروکلین، بلورهای روتیل، زیرکن، آپاتیت به طور فراوان، موسکویت و بخصوص بیوپیت به میزان فراوان وجود داشته و خبری از آمفیبول نیست. همچنین ولی زاده (منبع ۲) این گرانیتوئیدها را کالکوالکالن و میزان  $\frac{A}{C.N.K}$  را برای آنها برابر با  $1/4$  گزارش نموده که بر طبق رده بندی پیچر ۱۹۸۲ و گرین برگ ۱۹۹۰ جزو گرانیتوئیدهای سرشار از آلومین قرار گرفته و در نتیجه این سنگها جزو گرانیتوئیدهای تیپ S می‌باشند بنابراین با توجه به اینکه گرانیت الوند از نوع S و سرشار از آلومین بوده و همراه آن زینولیتیهایی از جنس رس قدیمی (آنکلاوهای سورمیکاسه) وجود داشته و فاقد معادلهای ولکانیک در منطقه می‌باشد. لذا این سنگها مربوط به تصادم قاره‌ای بوده و از طرفی بررسیهای سن سنجی مطلق به روش Rb-Sr (بلون و بروه، ولی زاده ۱۹۷۵) سنی در حدود  $2 \pm 68$  میلیون سال پیش را برای آنها بیان می‌دارد.

همچنین در شمال بروجرد یک توده اصلی گرانیتی (توده کمره - مالمیر) مشابه الوند با سن  $2 \pm 71$  میلیون سال پیش (بلون و بروه، ولی زاده ۱۹۷۵) وجود دارد که معادل الوند (نوع S) و حاصل تصادم است. بنابراین به این نتیجه می‌رسیم که عمل تصادم قاره‌ای در پوسته ایران در حدود  $70$  میلیون سال پیش و در کرتاسه فوقانی صورت گرفته است. البته بررسیهای چینهای بر روی افیولیتها، این موضوع را تأیید می‌نماید. حال اگر گفته شود که گرانیتوئیدهای

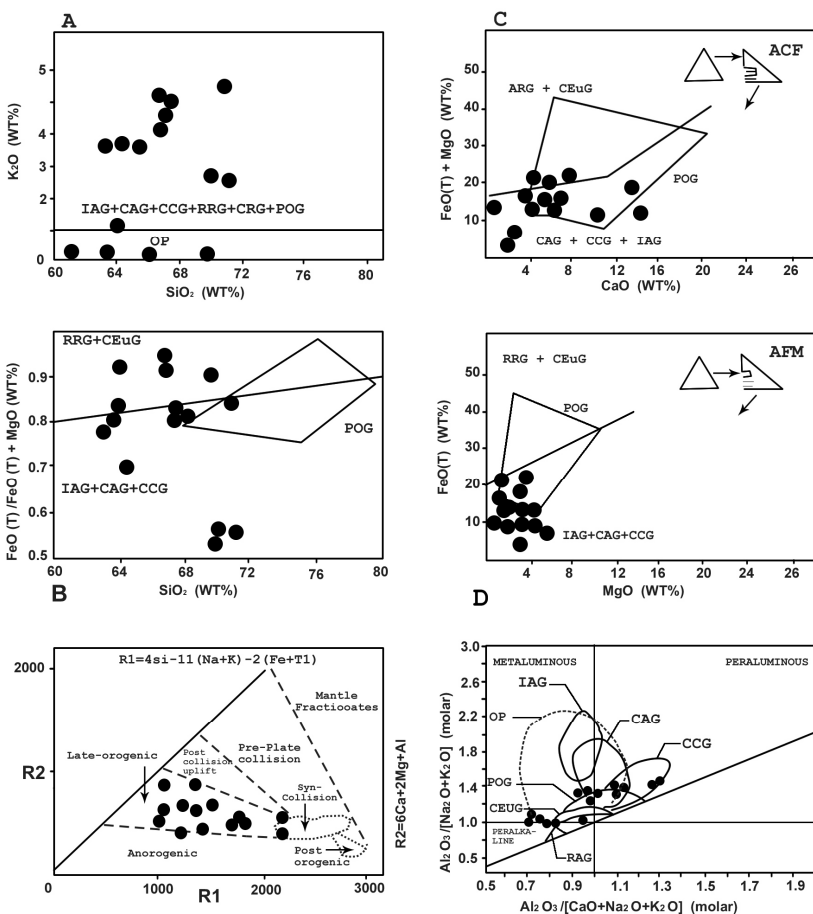
منطقه آلموقلاق مستقیماً در اثر فرورانش در مراحل انتهایی کوهزایی آخرین مرحله جایگزینی را انجام داده، براستی که سخنی نادرست گفتهایم زیرا این سنگها حدود ۷۰ میلیون سال جوانتر از زمان تصادم هستند و سنگهای جوان مرتبط با فرورانش در مقایسه با سنگهای ماقمایی قدیمی در فاصله دورتری از محل تصادم حاصل از فرورانش تشکیل می‌گردند. در صورتیکه گرانیتوئیدهای آلموقلاق در همان محل تصادم تشکیل گردیده‌اند. اغلب دانشمندان معتقدند که همچون گرانیتوئیدهایی و بخصوص آنهایی که دارای مقادیر بالایی از K و Na هستند ابتدا در اثر فرورانش تشکیل و در ترازهای پائین پوسته جایگزین می‌شوند و سپس بر اثر ماقمایی شدن مجدد به ترازهای بالا صعود و جایگزینی نهایی را طی می‌کنند. در نواحی شمال بروجرد نیز توده‌های کوچکی همچون توده‌های شاتیری و کریم آباد وجود دارد که شدیداً الکالی سدیک بوده و همانند گرانیتوئیدهای آلموقلاق در مثلث Qz-0r-Ab بر روی نقطه اوتکتیک قرار نمی‌گیرند و تصور می‌رود که وضعیت مشابهی داشته باشد.

گرانیتوئیدهای وسیع جهان به طور عمده در نوار لاخلان (L.F.B)، نوار کالدونین (C.F.B) و پاسیفیک P.R.B واقع شده‌اند. گرانیتوئیدهای نوار لاخلان با سن حدود ۴۰۰ میلیون سال دارای پتاسیم بالا و سدیم پائین بوده و مقدار سنگهای بازیک همراه آنها کمتر از یک درصد حجم داشته و این گرانیتوئیدها از نوع S و مربوط به تصادم قاره‌ای می‌باشند. گرانیتوئیدهای P.R.B با پتاسیم کمتر و سدیم بالاتر و با مقادیر زیادی از سنگهای بازیک همراه بوده و مربوط به فرورانش می‌باشند. بهمراه نوار L.F.B یک ردیف از گرانیتوئیدها به نام ردیف موریا وجود دارد که دارای مقادیر بالایی از پتاسیم و سدیم بوده و حتی میزان سدیم آن از نوع P.R.B بیشتر می‌باشد. در گرانیتوئیدهای ردیف موریا کانیهای زیرکن با سن رادیوزنیک ۳۸۰ میلیون سال وجود دارد که هسته برخی از آنها سن ۶۰۰ میلیون سال پیش را نشان می‌دهند. به عقیده سیلور و چاپل ۱۹۸۸ احتمالاً این گرانیتوئیدها در ۶۰۰ میلیون سال پیش در اثر فرورانش حاصل گردیده و در دویست میلیون سال بعد دوباره ماقمایی شده (ماقمایی شدن مجدد) و تشکیل گرانیتوئیدهای ردیف مذکور را داده‌اند. بعقیده جانسون ۱۹۸۷ برخی از سنگهای نوع فرورانش در ستون زمین شناسی الزاماً مربوط به فرورانش معاصر نیستند بلکه وابسته به یک فرورانش قدیمی و پیشین می‌باشند که مجدداً ماقمایی شده‌اند. ایشان سنگهای آذرین منطقه کاسکید در شمال غرب آمریکا و سنگهای ملانزی غربی را بر همین اساس تعبیر و توجیه نموده است. ما در جدول شماره ۲ و شکل شماره ۴ مقادیر  $\frac{Na_2O}{K_2O}$  و K<sub>2</sub>O گرانیتوئیدهای منطقه آلموقلاق را با سایر گرانیتوئیدهای مهم دنیا ارائه و مقایسه نموده‌ایم. همانطوریکه

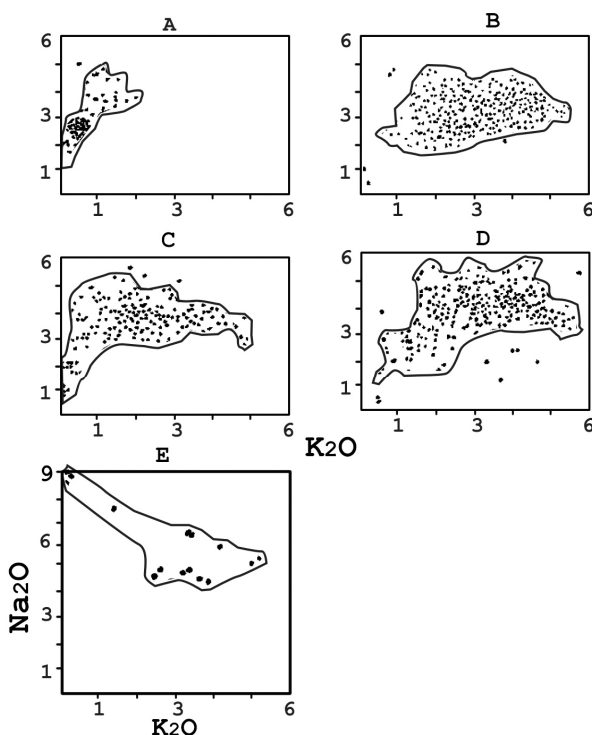
ملاحظه می‌شود میزان سدیم متوسط در گرانیت‌وئید آلموقلاق خیلی بالا (بیشتر از ۶ درصد) و از تمام تیپهای موجود در جدول و حتی از میزان سدیم موجود در جزایر قوسی بیشتر می‌باشد و میزان پتانسیم از L.F.B و C.F.B کمتر ولی از P.R.B بیشتر می‌باشد. بعقیده جانسون ۱۹۸۷ هنگامی که ترکیبات شیمیایی همچون Na و K در گرانیت‌وئیدها، ناهنجاری نشان بدهند باید به یک محیط تکتونیکی نامناسب عقیده داشت که گرانیت‌وئیدها یک فرآیند اضافی را تحمل نموده‌اند این محیط می‌تواند به عنوان ماسه‌ای شدن مجدد به همراه دخالت فرآیندهای غنی شدگی توجیه شود در ادامه به فرآیند احتمالی که سبب غنی شدن گرانیت‌وئیدهای آلموقلاق از آلکالیها شده اشاره می‌کنیم.

**جدول ۲- میانگین عناصر موجود در چند تیپ گرانیت‌وئید و سنگ آتشفسانی از نقاط مختلف زمین در مقایسه با سیینو-گرانیتهای آلموقلاق.**

منطقه نوع اکسید	آلوموکلاق (میانگین ۱۵ نمونه)	L.F.B (میانگین ۹۴۸ نمونه)	C.F.B (میانگین ۳۶۸ نمونه)	P.B.D (میانگین ۲۶۷ نمونه)	میانگین آتشفسانی پاسیفیک (ایوات، ۱۹۷۹)	میانگین پوسته (تیلور، ۱۹۸۵)	ردیف موریا (میانگین ۲۰ نمونه)
SiO <sub>2</sub>	۶۶/۵۹	۶۸/۹۸	۶۶/۴۴	۶۷	۶۷/۴۸	۶۶	۶۶/۵۸
TiO <sub>2</sub>	.۰/۷۳	.۰/۴۳	.۰/۵۷	.۰/۶۳	.۰/۵۶	.۰/۵	.۰/۵۲
Al <sub>2</sub> O <sub>3</sub>	۱۵/۱۶	۱۴/۲۲	۱۵/۴۸	۱۵/۹۸	۱۵/۷۳	۱۵/۲	۱۵/۲۷
Fe <sub>2</sub> O <sub>3</sub>	۲/۲	۱/۰۳	۲/۵۸	۱/۱	۲/۰۳	-	۱/۲۷
FeO	۱/۵۶	۲/۴۴	-	۲/۹۲	۲/۲۴	۴/۵	۲/۵۹
MnO	.۰/۰۴	.۰/۰۷	.۰/۰۷	.۰/۰۷	.۰/۱۱	-	.۰/۰۸
MgO	.۰/۸۹	۱/۰۵	۲/۲	۱/۷۵	۱/۲۸	۲/۰۲	۱/۱۷
CaO	۲/۴	۳/۳۵	۲/۹۸	۴/۰۵	۴/۱	۴/۲	۳/۸۲
Na <sub>2</sub> O	۶/۱۹	۳/۰۸	۴/۱۵	۳/۸۴	۴/۲	۳/۹	۴/۰۸
K <sub>2</sub> O	۲/۹۳	۳/۲	۲/۶۵	۲/۱۲	۲/۱۷	۳/۴	۲/۲۳
$\frac{Na_2O}{K_2O} \approx$	۲/۱۱	.۰/۹۳	۱/۱۴	۱/۸	۱/۹۴	۱/۱۵	۱/۸۳



شکل ۳ - دیاگرامهای مختلف جهت تفکیک محیط‌های تکتونیکی گرانیتوئیدها: دیاگرامهای A, C, B, D (از مانیار و پیکولی ۱۹۸۹)، دیاگرام کاتیونی  $R_1$ - $R_2$  (از باچلوروبودن ۱۹۸۵) و دیاگرام ازمانیار و پیکولی ۱۹۸۹ (از مانیار و پیکولی ۱۹۸۹). نمونه‌های آلموقلاط بر روی این نمودارها پلات گردیده است.



شکل ۴ - دیاگرام  $\text{Na}_2\text{O}$  در مقابل  $\text{K}_2\text{O}$  برای: A=آتشفسان بیسمارک و کمپلکس یوازبلو، C.F.B=D، P.R.B=C، L.F.B=B و E = نمونه‌های آلموقلاق.

#### ۴ - فرآیند غنی شدگی سیینوگرانیتهای منطقه

همانطوری که ذکر گردید سیینوگرانیتهای منطقه آلموقلاق دارای پتانسیم بالا و سدیم خیلی بالا ( $\text{Na}_2\text{O}$  بالای ۶ درصد و  $\frac{\text{Na}_2\text{O}}{\text{K}_2\text{O}} \approx \frac{2}{11}$ ) بوده و باستی یک فرآیند اضافی موجب غنی

شدن ماقمای تشکیل دهنده آن شده باشد. به عقیده دانشمندان حضور عناصر فلئور (F) و بور (B) در مذاب (سیستم Qz-Or-Ab) موجب افزایش و تمرکز Si، Al، K و Na در مذاب می‌گردد که شتاب افزایش الکالیها و به ویژه سدیم نسبت به Al و Si خیلی بیشتر می‌باشد (بورنهام ۱۹۶۷، مانینگ و پیچر ۱۹۸۶). همچنین بر اساس تحقیقات گلبوگ و آنفیلوگوف ۱۹۷۳ در هنگام سرد شدن سریع این مذابها، الکالیها به صورت ترکیباتی همراه فلئور و یا بور از فاز مایع جدا و رسوب می‌نمایند. از جمله نشانه‌های وجود عناصر فلئور و بور در سیستم ماقمایی سیینوگرانیتهای آلموقلاق می‌توان به موارد ذیل اشاره نمود.

۱- کانیهای تورمالین نوع اسکورلیت به طور فراوان در این سنگها و به خصوص در پگماتیتها مشاهده می‌شود که با توجه به فرمول کلی تورمالین یعنی  $(\text{Mg}, \text{Fe}^{3+}, \text{Al}, \text{Si})_6\text{O}_{18}(\text{Na}, \text{Ca})$  حضور عنصر بور (B) حتمی بوده و احتمال وجود عنصر فلئور نیز در این نوع کانیها وجود دارد.

۲- در کانیهای آمفیبول سدیک و بیوتیت منطقه امکان حضور فلئور وجود دارد. همچنین وجود کانیهای فراوان اسفن اتومرف در گرانیتوئیدهای منطقه می‌تواند دلیلی بر حضور فلئور (F) در سیستم باشد. زیرا بنا به عقیده صاحب نظران تکوین اسفن در ترمهای اسیدی‌تر مبین فشار بخشی بالای  $\text{TiCl}_4$  و  $\text{TiF}_4$  در ماقما می‌باشد (مانینگ a ۱۹۸۱).

۳- نقطه میانگین آماری گرانیتوئیدهای آلموقلاق با مختصات  $\text{Or}=24.76$ ,  $\text{Qz}=22.13$  و  $\text{Ab}=53.11$  در نمودار مثلثی فلئور دار  $\text{Qz}-\text{Or}-\text{Ab}$  متعلق به مانینگ ۱۹۱۸، حدود ۲/۷ درصد فلئور را برای مذاب تشکیل دهنده آن نشان می‌دهد. با توجه به موارد فوق نتیجه می‌گیریم که در محیط ماقمایی آلموقلاق سیالهای حاوی B و F حضور داشته که موجب غنی شدنگی این ماقماها از الكالیها و به خصوص سدیم گردیده است.

**۵- پرتیت زایی و گرانوفیرزایی و نحوه جای گیری نهایی سینوگرانیتهای منطقه گرانیتوئیدهای منطقه با داشتن دو بافت پرتیت رشتہ‌ای و گرانوفیر از نوع گرانیتوئیدهای هیپرسولووس بوده و در شرایط فشار آب کمتر از ۵ کیلوبار تبلور حاصل نموده‌اند. پرتیت این سنگها از نوع نا‌آمیختگی در ارتوزو آلبیت بوده که در برخی از کانیها در بخش‌های حاشیه‌ای تغییر شکل داده و دانه درشت گردیده‌اند (تصویر شماره ۲-b) و بافت گرانوفیری در این سنگها حاصل نا‌آمیختگی کوارتز با الکالی فلدسپات بوده و مربوط به مرحله کوتکتیک و یا اتکتیک می‌باشد و هنگامی به وجود می‌آید که آب از محیط فرار نماید و یک سرد شدگی سریع اتفاق بیفتند. حال اگر پرتیت را حاصل نا‌آمیختگی اولیه بدانیم در آنصورت لازم است که فشار آب محیط تا حدودی (بستگی به شرایط محیط) بالا بوده تا منحنی‌های سولیدوس و سولووس همدیگر را قطع کنند و در تحت شرایط تبلور آهسته پرتیت تشکیل گردد. بنابراین با توجه به وضعیت کانی شناسی گرانیتوئیدهای منطقه می‌توان نتیجه گرفت که تحت شرایط فشار آب بالاتر، ماقما به آرامی سرد شده و ابتدا کانی ارتوز و سپس تحت شرایط کوتکتیک و یا نزدیک به اتکتیک پرتیت تشکیل گردیده و سرانجام مذاب به نقطه اتکتیک رسیده و ضمن ادامه ایجاد پرتیت، کوارتز بی‌شکل نیز تشکیل گشته و در همین زمان بلافصله بر اثر یک تنش تکتونیکی و احتمالاً حرکت به سطوح بالاتر، گازها از شکستگی‌ها خارج شده و سرد شدگی سریع اتفاق افتاده**

و در نتیجه کوارتز و فلدسپات به صورت رشد توأم تشکیل بافت گرانوفیر را داده‌اند و بعداً تحت تأثیر مواد هیدروترمالی، عمل دگرسانی و ورود محلولها به سیستم درزها، کانیهای ثانویه‌ای مثل آپیدوت، پستانیت و پرهنیت را ایجاد کرده و موجبات دانه‌ای و درشت شدن پرتهای رشته‌ای فراهم گردیده است.

### نتیجه گیری

به نظر می‌رسد که ماگما‌ی تولید کننده گرانیتوئید آلموقلاق ابتدا به صورت ماگما‌ی حاصل از ذوب بخشی پوسته اقیانوسی فرورونده در اوخر کوهزایی لارامیدین تشکیل و در سطوح پائینی پوسته جایگزین گردیده است مقدار  $\text{CaO}$  در این گرانیتوئیدها کم و در حدود  $2/4$  درصد است بنابراین این سنگها ابتدا از ذوب پوسته اقیانوسی حاصل شده‌اند و احتمالاً هوازدگی پوسته اقیانوسی سبب خروج  $\text{CaO}$  از محیط گردیده است. همچنین در هنگام ذوب پوسته اقیانوسی احتمالاً سیالات فعال فلکور دار و بور دار در محیط وجود داشته و موجب تمرکز کالیهای و به ویژه سدیم در ماگما گردیده و ماگما پس از جایگزینی در پوسته تحتانی در زمانهای بعدی بار دیگر بر اثر حرارت‌های ناشی از فشار فرورانش و یا نقاط داغ (مانتل پلوم) و یا عوامل حرارتی دیگر، مجدد ذوب گردیده و در هنگام ذوب شدن بعلت حضور محلولهای فلکور (F) و بور (B) از Na و K غنی‌تر شده و حتی مقداری از سدیم سنگهای مجاور احتمالاً وارد سیستم شده است. سپس این ماگما ضمن حرکت به سوی بالا، به آرامی و تحت فشار آب حدود ۴-۵ (کمتر از ۵) کیلوبار سرد و متبلور گشته و تشکیل بافت پرتهای را داده و آنگاه به طور ناگهانی و احتمالاً در اثر نیروهای تکتونیکی و حرکت آنی به سمت بالا، آب خود را از دست داده و تشکیل بافت گرانوفیری را داده و جایگزینی نهایی خود را در اوخر پلیوسن انجام داده است، و به طور کلی می‌توان گفت که علت ناهنجاریهای ترکیبی توده‌های وابسته به فرورانش پوسته ایران ناشی از ذوب مجدد (ماگما‌ی شدن مجدد) در حضور محلولهای فلکور و بوردار می‌باشد.

### References

- Alavi, M. (1994) *Tectonics of the Zagros orogenic belt of Iran new data and interpretation*, tectonophysics, **229**, 211-238.
- Berberian, M., & King, G.C.P. (1980) *Towards a paleogeography and tectonic evolution of Iran*, Geol Surv, **52**, 502-557.
- Glyuk, D.S., and Anfilogov, V.N. (1973) *Phase equilibria in the system granite H<sub>2</sub>O-HF at a pressure of 1000 kg/cm<sup>2</sup>*, Geochem. Int., **10**, 321-325.

- Manning, D.A.C. (1981a) *The effect of flourine on liquidus phase relationships in the system Qz-Ab-Or with excess water at 1 kbar*, contr. Mineral. Petrol., **76**, 206-215.
- Pitcher, w. (1983) *Granite type and tectonic environment*, Moutain Building processes, Hsu keneth J.edit. chay 1-3, P. 19-40, Acad. Press. London.
- Shelley, D. (1993) *Igneous and Metamorphic Rocks under the microscope* (Classification, textures, mirostructures and mineral preferred orientation) Chapman & Hall London.

فیاضی، فرج ا.... (۱۳۵۴) بررسی پتروگرافی و سنگ شناسی منطقه آلموقلاق، پایان نامه کارشناسی ارشد، دانشگاه تهران.

ولیزاده ، محمدولی، (۱۳۷۱) پetroلوزی تجربی و تکتونیک کلی، جلد ۱ و ۲ (ترجمه) انتشارات دانشگاه تهران.